

МІНІСТЕРСТВО ОСВІТИ І НАУКИ УКРАЇНИ

Сумський державний університет

Кафедра електроніки і комп'ютерної техніки

«До захисту допущено»

Завідувач кафедри

_____ ОПАНАСЮК

(підпис)

Анатолій 2023р.

КВАЛІФІКАЦІЙНА РОБОТА

на здобуття освітнього ступеня бакалавра

зі спеціальності 172 «Телекомунікації та радіотехніка»,
освітньо-професійної програми «Мережеві та інтернет технології»

На тему: пристрій розподілу інформації
на основі послідовних інтерфейсів.

Здобувача групи ТК-91 Растворцева Лева Дмитровича

Кваліфікаційна робота містить результати власних досліджень.
Використання ідей, результатів і текстів інших авторів мають поси-
лання на відповідне джерело.

(підпис)

Лев РАСТВОРЦЕВ

Керівник, заступник завідувача кафедри, кандидат технічних наук, до-
цент

(підпис)

Ігор КУЛИК

Суми – 2023

ВСТУП

Вітчизняний та зарубіжний досвід переконливо свідчать про те, що розвиток підприємств металургійного, енергетичного і хімічного комплексу, вирішення проблем якості та конкурентоспроможності продукції на світовому ринку вимагають кардинального вдосконалення систем збирання, зберігання, обробки, передачі та використання інформації. Сучасні тенденції розвитку промисловості характеризуються розробкою, впровадженням і широким застосуванням інформаційних систем і технологій. Основою інформаційних технологій і систем є комп'ютери та комп'ютерні мережі з розгалуженим програмним забезпеченням, а також системи управління базами даних, комп'ютерні системи підтримки прийняття рішень, методологічна основа яких ґрунтується на теорії систем і системному аналізі, теорії моделювання даних, технологічних процесів та знань.

Пристрій розподілу інформації на основі послідовних інтерфейсів є компонентом системи, що використовується для передачі даних між пристроями чи системами через послідовний канал зв'язку. Він забезпечує організацію передачі інформації в послідовному форматі, де біти передаються один за одним у послідовному порядку.

Основними складовими пристрою розподілу інформації на основі послідовних інтерфейсів є передавач та приймач. Передавач приймає дані для передачі та конвертує їх у послідовний формат, після чого вони передаються через послідовний канал. Приймач отримує послідовні дані та відновлює їх у вихідний формат.

Такі пристрої розподілу інформації широко використовуються у різних сферах, включаючи телекомунікації, комп'ютерні мережі, автоматизацію та контроль, електроніку, медичні пристрої, автомобільну промисловість та інші. Вони дозволяють ефективно передавати дані в режимі реального часу і забезпечують надійність передачі навіть на великі відстані.

У цій кваліфікаційній роботі будуть досліджені основні аспекти пристроїв розподілу інформації на основі послідовних інтерфейсів, їх принципи роботи, протоколи комунікації та застосування. Також будуть розглянуті переваги та недоліки використання послідовних інтерфейсів порівняно з іншими типами з'єднань, що дозволить краще розуміти їхню роль у сучасних технологіях передачі даних.

1 ОГЛЯД ЛІТЕРАТУРИ ТА ПОСТАНОВКА ЗАДАЧІ ДОСЛІДЖЕННЯ

					ЕлІТ 6.172.00.02.281 ПЗ	Лист
Изм.	Лист	№ документа	Підпис	Дата		4

1.1 Загальна інформація.

Інтерфейс RS-485 - широко поширений швидкісний та стійкий до перешкод промисловий послідовний інтерфейс передачі даних. Практично всі сучасні комп'ютери в промисловому виконанні, більшість інтелектуальних датчиків і виконавчих пристроїв, програмовані логічні контролери разом з традиційним інтерфейсом RS-232 містять в своєму складі реалізацію інтерфейсу RS-485. Інтерфейс RS-485 базується на стандарті EIA RS-422/RS-485. Основна відмінність RS-485 від також широко поширеного RS-232 - можливість об'єднання декількох пристроїв. RS-485 підтримує диференційний сигнал, де дані передаються як різниця напруги між двома проводниками (позитивний та негативний). Це дозволяє забезпечити стійкість до шумів та впливу електромагнітних полів. Крім того, RS-485 має дуже низьку споживану потужність, що робить його енергоефективним для довготривалих додатків з живленням від батарей або акумуляторів. RS-485 має свої стандарти та специфікації, які регулюють передачу даних, електричні характеристики, протоколи комунікації та інші параметри.

RS-485 широко використовується у багатьох галузях, включаючи автоматизацію, промисловість, будівництво, системи безпеки, контроль доступу, системи вимірювання та багато інших. Інтерфейс RS-485 забезпечує обмін даними між кількома пристроями по одній двожильній лінії зв'язку у напівдуплексному режимі. Він широко використовується в промисловості для створення АСУ ТП. Інтерфейс RS-485 найчастіше використовується при створенні сучасних локальних мереж різного призначення, як у промислових виробках, так і в аматорській практиці. Основними перевагами цього інтерфейсу є:

відносно низька вартість мікросхем драйверів, що знижує вартість апаратної реалізації мережевих диспетчерів, тобто вузлів зв'язку між мережевим середовищем (лініями зв'язку) та ядром станції (вузла) мережі, тобто мікроконтролерною або мікропроцесорною системою;

використання всього трьох проводів (третій, загальний, не завжди є обов'язковим) у мережах на основі інтерфейсу RS-485, що значно знижує вартість всієї системи, оскільки відомо, що вартість мережевого середовища сучасних локальних мереж майже завжди становить більше 60% вартості всієї системи;

мікросхеми драйверів мають невеликі розміри. Найчастіше використовуються мікросхеми в корпусі DIP8 зі стандартним розташуванням виводів, що стало де-факто промисловим стандартом. Мікросхеми драйверів використовують лише

										Лист
Изм.	Лист	№ документа	Підпис	Дата	ЕЛІТ 6.172.00.02.281 ПЗ					5

джерело спотворень. При диференціальній передачі спотворень не відбувається. У самому ділі, якщо два проводи проходять близько один до одного, ще й перехресно перевиті, то наведення на обидва проводи однакове. Потенціал у обох однаково навантажених проводах змінюється однаково, при цьому інформативна різниця потенціалів залишається без змін.

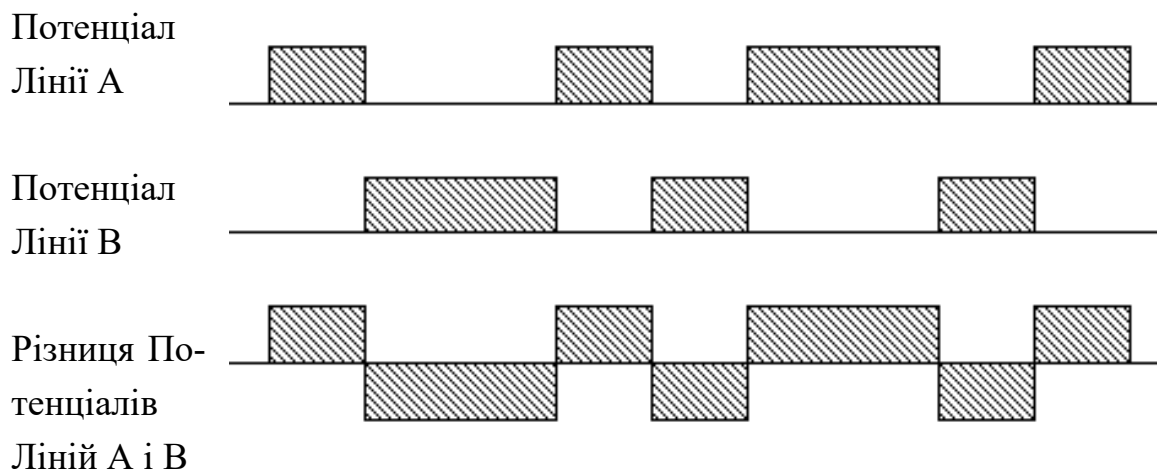


Рисунок. 1.1 – Принцип підключення прийомопередавачів і структура локальної мережі на основі інтерфейсу RS-485.

На рисунку 1. 1 показано, як підключаються прийомопередавачі та структура локальної мережі, побудованої на основі інтерфейсу RS-485.

Прийомопередавачі підключаються до двохпроводної лінії RS-485, яка передає дані між пристроями.

Лінія RS-485 може містити до 32 пристроїв, які навантажують лінію на одиницю навантаження (UL). Сумарна кількість навантажень UL на лінії не повинна перевищувати 32.

Така структура мережі на основі інтерфейсу RS-485 дозволяє передавати дані між пристроями на великій відстані, забезпечуючи високу швидкість передачі та стійкість до шумів і перешкод.

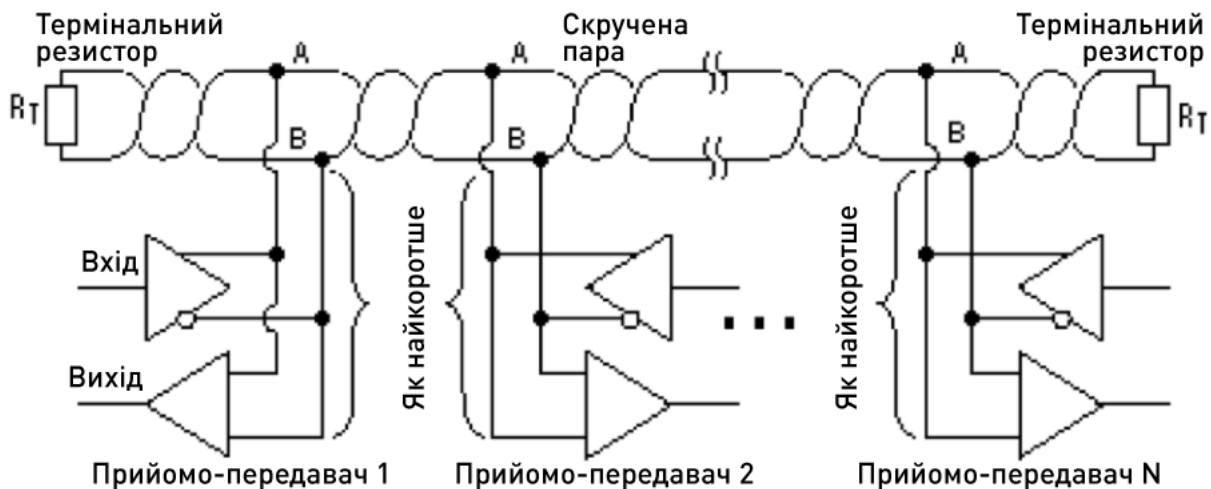


Рисунок 1.2 - Локальна мережа на основі інтерфейсу RS-485

Параметри інтерфейсу RS – 485 наведені в таблиці 1.1.

Таблиця 1.1 – Параметри інтерфейсу RS – 485

Параметр	Значення
Допустима кількість передавачів / приймачів.	32 / 32
Максимальна довжина кабелю.	1200 м
Максимальна швидкість зв'язку	10 Мбіт/с
Діапазон напруги "1" передавача.	+1.5...+6 В
Діапазон напруги "0" передавача.	-1.5...-6 В
Діапазон синфазної напруги передавача.	-1...+3 В
Допустимий діапазон напруги приймача.	-7...+12 В
Пороговий діапазон чутливості приймача.	±200 мВ
Максимальний струм короткого замикання драйвера.	250 мА
Допустимий опір навантаження передавача.	54 Ом
Вхідний опір приймача.	12 кОм
Максимальний час наростання сигналу передавача.	30% біта

Изм.	Лист	№ документа	Підпис	Дата
------	------	-------------	--------	------

Під час підключення слід правильно приєднати сигнальні ланцюги, зазвичай називаємі А і В. Переполяризація не страшна, але пристрій працювати не буде. Мережу слід прокласти за топологією шини, без відгалужень. Пристрої слід підключати до кабелю дротами мінімальної довжини.

За своєю природою інтерфейс RS-485 пристрої не можуть передавати одночасно - буде конфлікт передавачів. Отже, потрібно розподілити між пристроями право на передачу. Звідси основний поділ: централізований (одновладний) обмін і децентралізований (багатовладний).

1.2 Модулі розподіленої системи збору даних. За використання сучасної ідеології автоматизації різних технологічних процесів все більшої поширеності набувають модулі ADAM від компанії "Advantech".

Модулі серії ADAM 5000 - це модулі розподілених систем збору даних та управління. Вони призначені для створення територіально розподілених систем збору даних та управління і забезпечують виконання таких функцій:

- аналоговий ввід-вивід;
- дискретний ввід-вивід;
- первинне перетворення інформації;

ADAM 5000 отримує команди від віддаленої обчислювальної системи і передає перетворені дані за допомогою інтерфейсу RS-485.

Компанія "Advantech" виробляє моделі інтелектуальних УЗО серії ADAM 5000 - модель ADAM 5510, яка, крім іншого, є вільнопрограмованим мікроконтролером, сумісним з IBM.

Програмований мікроконтролер ADAM 5510 призначений для використання в локальних та розподілених системах автоматизації в якості автономного контролера. Він забезпечує прийом і видачу аналогових та дискретних сигналів, первинне перетворення сигналів згідно з алгоритмами, програмованими користувачем, та обмін інформацією за допомогою послідовних каналів зв'язку на основі інтерфейсу RS-485. Приклад комплектування системи на основі модулів серії ADAM 50xx представлений на рис. 1.3.

									Лист
Изм.	Лист	№ документа	Підпис	Дата	ЕЛІТ 6.172.00.02.281 ПЗ				9

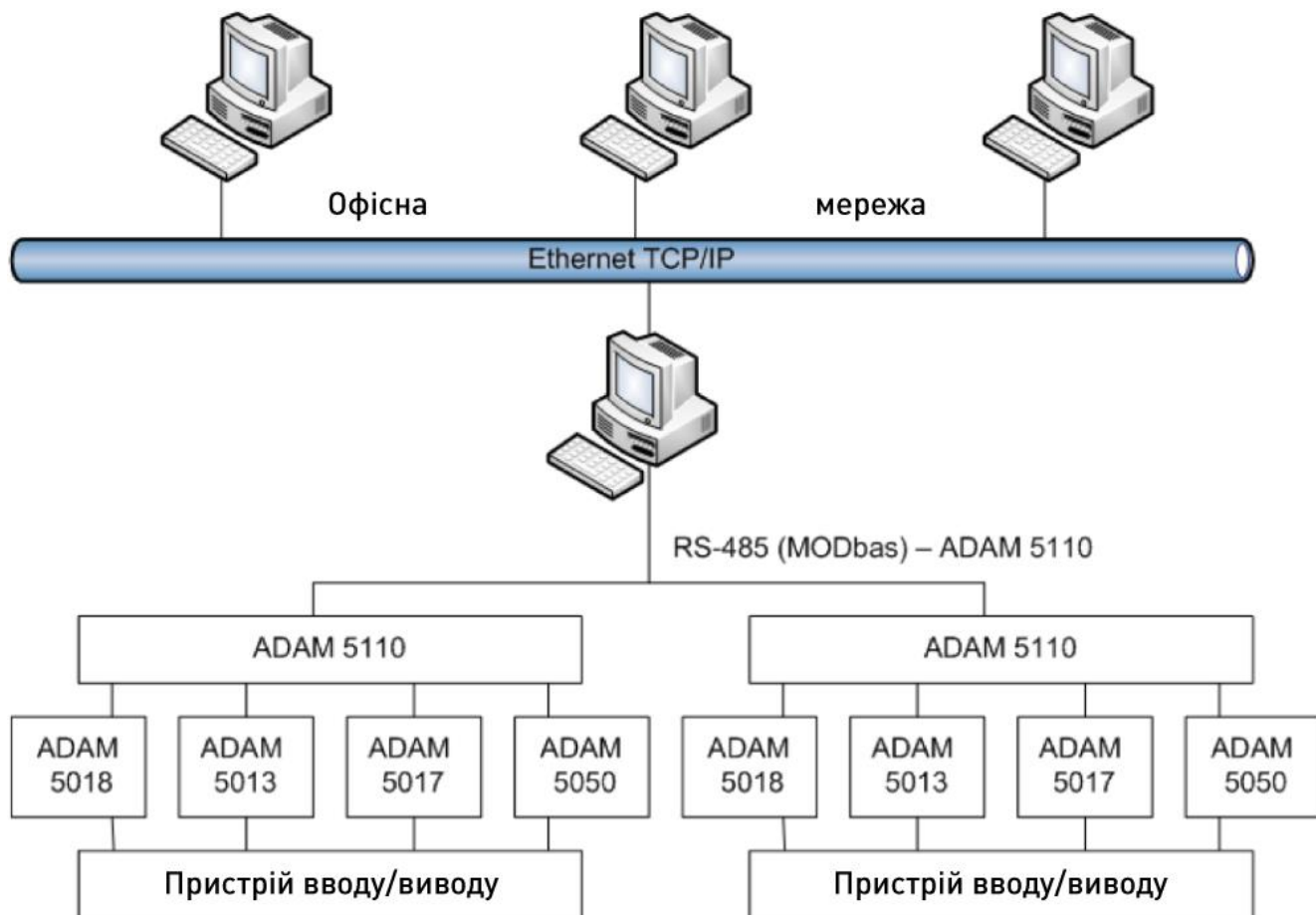


Рисунок 1.3 – Інформаційна система на основі модулів ADAM 50XX

З'явлення модуля ADAM 5510 дозволило розмістити управляючу програму користувача безпосередньо в пам'яті контролера, що скоротило час реакції в контурі управління практично до 5-10 мкс. Цей факт дозволив застосовувати системи на базі ADAM 5510 для вирішення задач жорсткого реального часу.

Контролер має відкриту архітектуру і може програмуватись за допомогою традиційних мов програмування (C, асемблер), а також функціональних блочних діаграм. Для цього є можливість підтримки пакету Ultralogik (FBD - Function Block Diagram, мова функціональних блокових діаграм, стандарт МІК 61131-3).

Ultralogik - це система розробки програмного забезпечення збору даних і управління для промислових контролерів. Програміст, який використовує Ultralogik, може нічого не знати про внутрішнє устрійство ADAM 5510. Для нього важливо розуміти, які модулі введення-виведення присутні в його контролері і на які саме лінії в них надходять різні сигнали.

Изм.	Лист	№ документа	Підпис	Дата

контрольної суми, зазначеної в пакеті, отримувач видає підтвердження у формі АСК (або він надсилає NAK). Коли передавач отримує АСК, він передає наступний пакет.

Принцип неперервного ARQ (ковзке вікно) полягає в тому, що передавач надсилає кілька пакетів підряд без затримки між пакетами. Отримувач разом з номером пакета надсилає NAC або АСК (як і в разі передачі та очікування ARQ).

Передавач постійно перевіряє потік повертаються підтвержень і відстежує пакети з помилками. В кінці передачі пакети, в яких були виявлені помилки, передаються повторно.

Протокол передачі та очікування ARQ залишається найбільш поширеним протоколом передачі файлів для ПК. Для передачі файлів використовуються два типи протоколів - XMODEM та Kermit.

Протокол XMODEM. XMODEM є простим протоколом передачі та очікування ARQ, який використовує поле даних фіксованої довжини. Контрольне число є однобайтовою арифметичною контрольною сумою. Структура пакета зображена на рис. 2.1.

Початок заголовку	Номер поточного пакету	Доповнення до 1 номера поточного пакету	Дані (128 байт)	Арифметична Контрольна сума
-------------------	------------------------	---	-----------------	-----------------------------

Рисунок 2.1 - Структура кадру протоколу XMODEM

Початок заголовка (SOH) - це значення у двійковому коді ASCII. Поле номера поточного пакета приймає значення 256 і є доповненням до першого пакета. Довжина даних є фіксованою і може містити як двійкові дані, так і слова двійкового коду ASCII. Арифметична контрольна сума обчислюється для поля даних за допомогою методу ділення за модулем 226 і має розмір один байт.

Коротко алгоритм роботи протоколу XMODEM можна описати так:

Приймач надсилає передавачу символ NAK, щоб ініціювати передачу.

Потім передавач надсилає об'єднаний пакет з 128-байтним блоком даних. Символ АСК, отриманий передавачем, починає передачу наступного пакета, а символ CAN скасовує передачу.

Коли всі дані передані, відправник надсилає єдиний символ EOT, який приймач підтверджує символом АСК.

									Лист
Изм.	Лист	№ документа	Підпис	Дата	ЕЛІТ 6.172.00.02.281 ПЗ				13

Основа передачі файлу - 8-розрядні дані. Це призводить до певних проблем, які були розглянуті раніше для протоколу XMODEM.

Протокол ZMODEM не буде передавати файл, якщо такий файл вже існує на жорсткому диску приймаючого комп'ютера. Ця перевірка виконується протоколом ZMODEM автоматично і дозволяє заощадити час;

Забезпечує краще виявлення і корекцію помилок за допомогою механізму CRC-32;

Можлива стиснення даних - це збільшує швидкість передачі даних.

Протокол Kermit. На основі протоколу Kermit лежить пакетний протокол передачі та очікування ARQ. Відправник передає пакет, а потім очікує підтвердження приймача про прийняття пакета. Приймач може потім запросити наступний пакет (символ ACK) або повторну передачу попереднього пакета (символ NAK).[1]

Малюнок протоколу Kermit показано на рисунку 2.2.

Мітка	Довжина пакету	Номер пакету	Тип	Дані	Перевірка 1	Перевірка 2	Перевірка 3
-------	----------------	--------------	-----	------	-------------	-------------	-------------

Рисунок 2.2 - Пакет протоколу Kermit

Порівняльні характеристики типів передачі файлів і атрибутів протоколів наведені в таблиці 2.1.

Таблиця 2.1 - Порівняння протоколів передачі файлів

Опис		Xmodem	Ymodem	Zmodem	Kermit
Тип	Одиночний файл	Так	Так	Так	Так

Протокол побудований за схемою "мастер-ведений" (master-slave). В системі є один ведучий пристрій (мастер), який ініціює будь-яку транзакцію в мережі. Всі інші пристрої є веденими і виконують команди мастера або передають інформацію у відповідь на запит мастера. Протокол передбачає два типи адресації: індивідуальну, коли повідомлення адресоване одному веденому пристрою, та широкомовленню (broadcast messages), коли повідомлення адресоване всім пристроям мережі. При індивідуальній адресації ведений пристрій повертає мастеру відповідне повідомлення, при широкомовленні відповідні повідомлення не надсилаються.

Мережа Modbus може працювати у одному з двох режимів: RTU та ASCII. У режимі RTU інформація передається "як є", у двійковому коді. У режимі ASCII інформація передається у текстовому форматі як послідовність символів '0'-'9', 'A'-'F' в ASCII-кодуванні.

Повідомлення представляє собою послідовність символів, передаваних безперервно, без пауз. При виникненні паузи тривалістю більше 1,5 t, де t - час передачі одного символу при заданій швидкості передачі, приймаючий пристрій фіксує помилку в прийманні повідомлення і починає приймати нове повідомлення після паузи. Повідомлення передує і завершується паузою не менше 3,5 t з типовим значенням 4 t. [7]

Ймовірність того, що кодова відстань між отриманим та переданим повідомленнями довжиною 64 біта дорівнює d, розраховується за формулою 2.2:

$$p(d) = p_l^d (1 - p_l)^{64-d} \quad (2.2)$$

де p_l - ймовірність спотворення одного біта.

Нехай $\Pr_{CRCerr}(d)$ - ймовірність збігу контрольної суми CRC-16 в інформаційному слові, розташованому на відстані d від передаваного інформаційного слова. Тоді повна ймовірність виявлення помилки контролем перевірочних символів CRC16 розраховується за формулою 2.3:

$$\Pr_{CRCerr}(p_l) = \sum_{d=2}^{p_l-n} p_l^d (1 - p_l)^{64-d} \Pr_{CRCerr}(d) \quad (2.3)$$

Де p_l - ймовірність спотворення одного біта,

$\Pr_{CRCerr}(d)$ - ймовірність помилки, що не виявляється.

										Лист
Изм.	Лист	№ документа	Підпис	Дата	ЕЛІТ 6.172.00.02.281 ПЗ					17

Імовірність оцінена за допомогою моделювання та дорівнює $1,9 \cdot 10^{-5}$.

Ми бачимо, що обидва режими мають свої переваги та недоліки, і неможливо однозначно рекомендувати використання одного з них "у всіх випадках життя". Найкращим рішенням буде підтримка обох режимів протоколу Modbus у розроблюваному пристрої.

2.3 Аналіз споживаної обчислювальної потужності.

При формуванні і обробці пакета даних згідно з різними промисловими протоколами передачі даних основний час і обчислювальна потужність, як приймача, так і передавача, йде на обчислення та перевірку контрольної суми. Для протоколів, які під час трансакції формують довгі повідомлення, поширеним і дуже ефективним механізмом перевірки повідомлення на наявність помилки є контроль за допомогою циклічного зайвого коду. CRC базується на використанні понять з області математики, відомої як теорія алгебри. Механізм контролю за допомогою циклічного зайвого коду очевидно, дуже ефективний у виявленні помилок, особливо "пакетних помилок", коли зовнішні перешкоди тимчасово підгнічують сигнал і спотворюють цілий рядок бітів. Контроль CRC є ефективним для повідомлень будь-якої довжини.

Існують два основних методи розрахунку CRC - по бітах і по таблиці. Їх основні характеристики наведені в таблиці 2.2.

Контрольні суми відрізняються за надійністю контролю цілісності даних. Чим більша довжина розрахункової суми, тим вона надійніша, але й тим складніше її реалізація. Під час розрахунку можуть використовуватися різні поліноми, які зазвичай визначаються стандартом використовуваного інтерфейсу.[3]

Метод розрахунку	Переваги	Недоліки
Побітовий	Малі затрати пам'яті	Низька швидкість виконання

Табличний	Більш висока швидкість виконання	Великі затрати пам'яті
-----------	----------------------------------	------------------------

Таблиця 2.2 - Характеристики методів розрахунку

Реалізація побітового алгоритму. Схема алгоритму представлена на рисунку 1.6. Вихідний код, що відповідає даному алгоритму, наведений у додатку. На рисунку 1.6 для кожного блоку вказано час виконання операцій у тактах процесора. Підпрограма розрахунку контрольної суми приймає два параметри:

довжину повідомлення, яка передається словом через два регістри LENL і LENH, де LENL - молодший, а LENH - старший байт слова;

вказівник на повідомлення, який передається через пару адресних регістрів XH і XL. Розрахована контрольна сума зберігається в регістрах SUMH і SUML, де SUMH - старший, а SUML - молодший байт суми. У побітовому алгоритмі час розрахунку залежить від вхідних даних. Тому при аналізі часу розрахунку беруться два випадки - найгірший (виконується операція XOR з поліномом) і найкращий (операція XOR не виконується). На практиці можна стверджувати, що дані будуть оброблені не повільніше, ніж у найгіршому випадку, і не швидше, ніж у найкращому випадку. Виділимо постійну і змінну частини часу виконання алгоритму. Постійна частина визначається накладними витратами при реалізації підпрограми - завантаження/вивантаження зі стеку, ініціалізація початкових значень змінних, інверсія суми після завершення розрахунку. Змінна частина визначається реалізацією алгоритму. Дані про часові витрати в тактах процесорного часу наведені в таблиці 1.4.

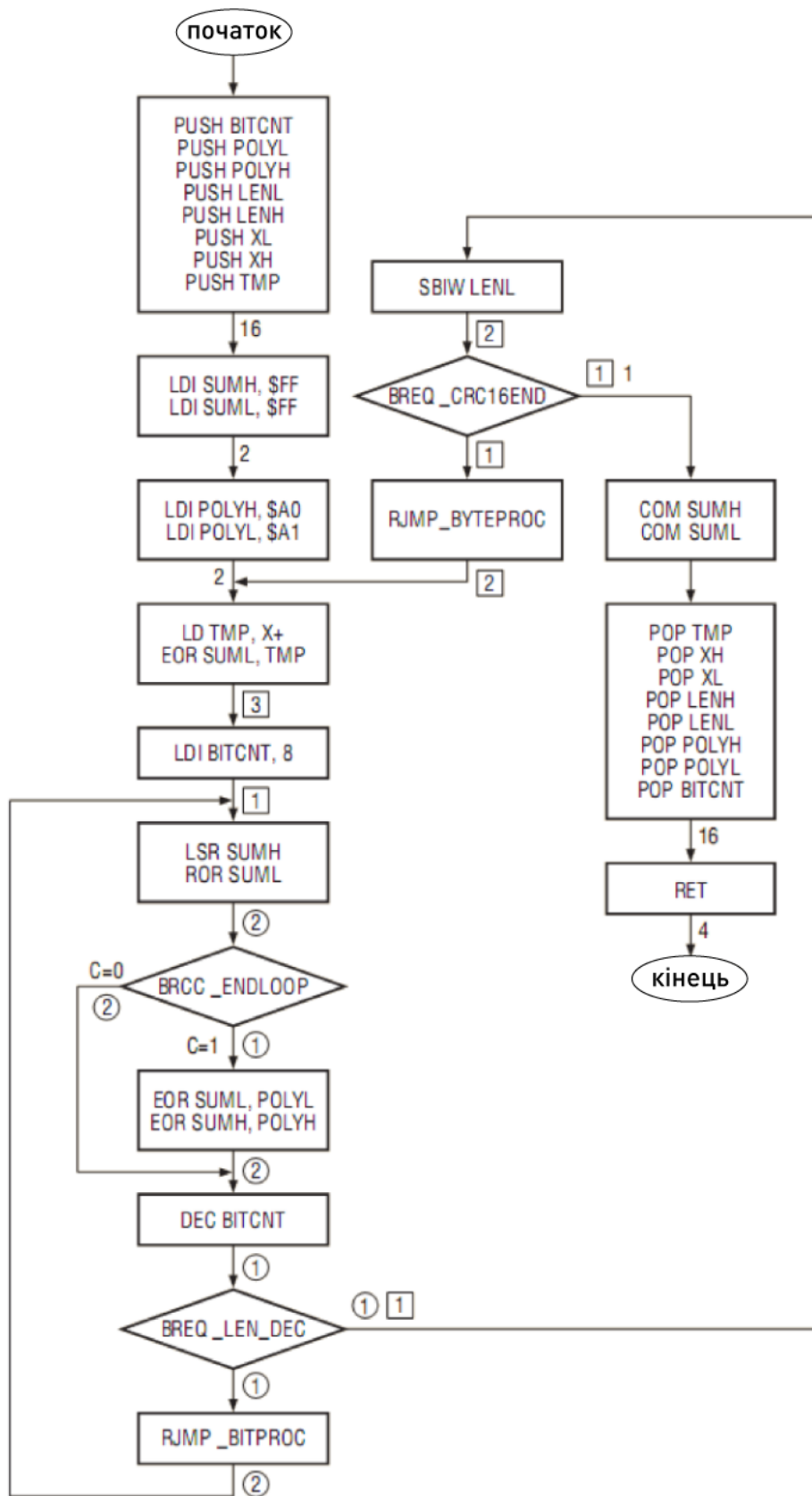


Рисунок 2.2 – Блок-схема алгоритму побітового розрахунку CRC-16

Изм.	Лист	№ документа	Підпис	Дата

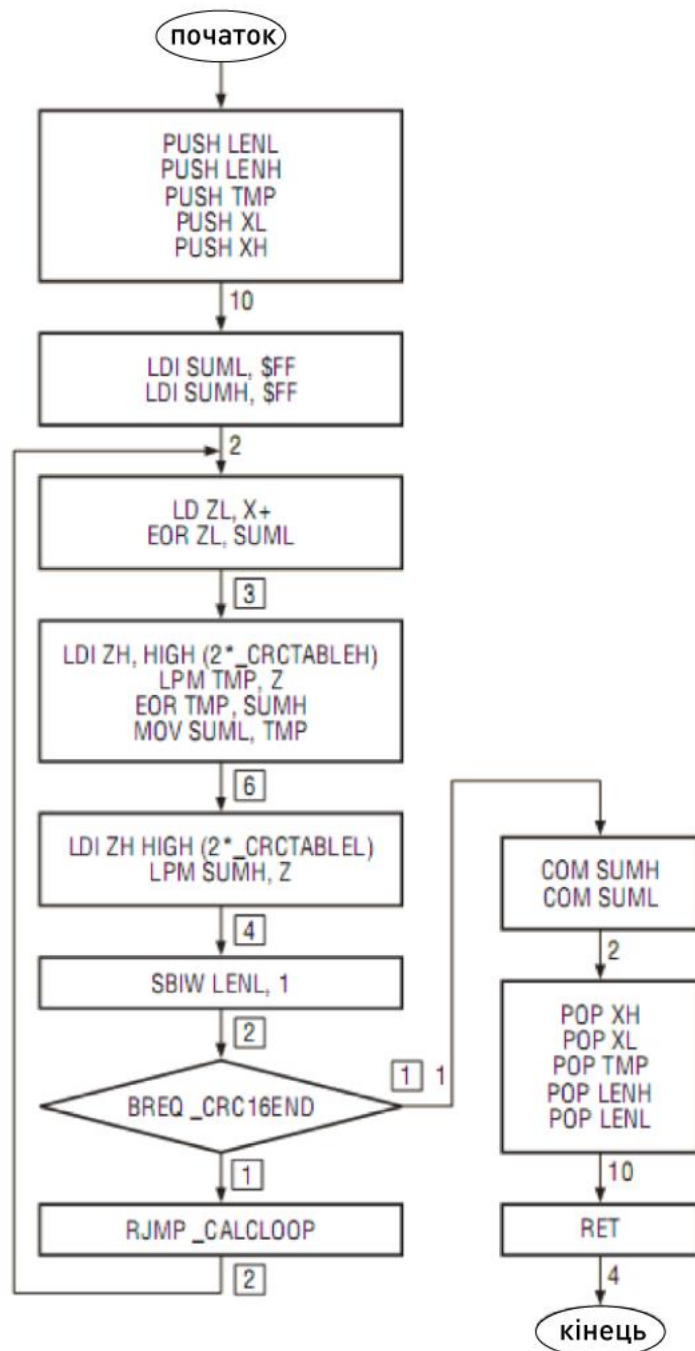


Рисунок 2.3 – Блок-схема табличного алгоритму

Порівняння швидкості виконання алгоритму. Для порівняння швидкості розрахунку побудуємо графіки, що відображають залежність часу виконання розрахунку в процесорних тактах (рис. 2.4) і мілісекунд при тактовій частоті 16 МГц (рис. 2.5) від кількості оброблюваних байт повідомлення.

Изм.	Лист	№ документа	Підпис	Дата

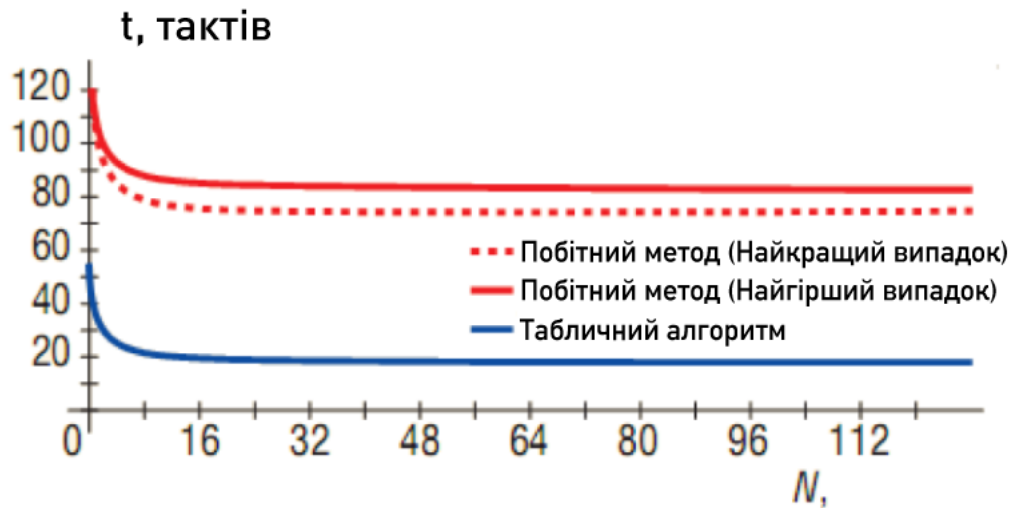


Рисунок 2.4 - Порівняння часу виконання алгоритмів (у тактах)

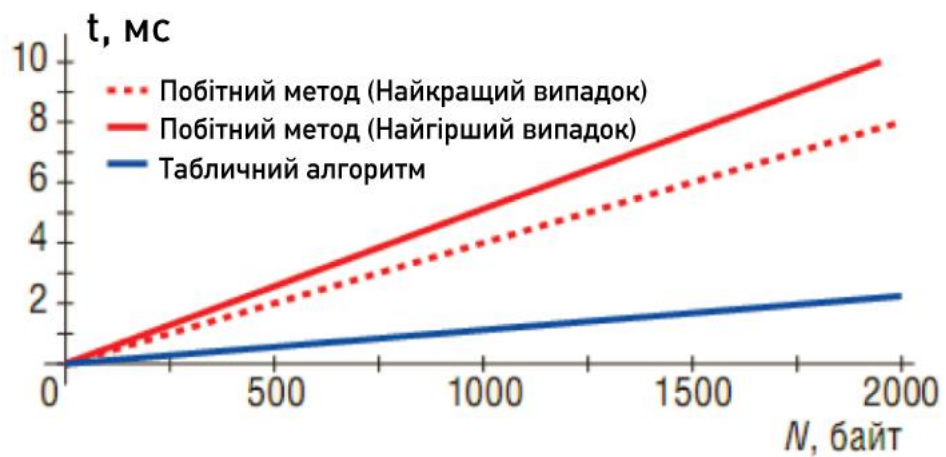


Рисунок 2.5 – Порівняння часу виконання алгоритмів (у мілісекундах)

Таблиця 2.5 - Порівняння обсягів зайнятої пам'яті

Алгоритм	Flash-пам'ять, байт	SRAM, байт
Побітовий	74	0
Табличний	564	0

Отже, використання табличного алгоритму для обчислення контрольної суми CRC програмним способом є більш ефективним, навіть при використанні менших моделей мікроконтролерів серії AVR.

3 РОЗРОБКА ТЕЛЕКОМУНІКАЦІЙНОГО ПРИСТРОЮ З ВИКОРИСТАННЯМ ОТРИМАНИХ РЕЗУЛЬТАТІВ ДОСЛІДЖЕННЯ

3.1 Обґрунтування алгоритму функціонування та структурної схеми проєктованого пристрою. Значення полів та структура повідомлень, що передаються по каналу зв'язку, а також алгоритми функціонування передавачів та приймачів описуються стандартами протоколів передачі даних. Вибір конкретного рішення залежить від архітектури системи, відстані, кількості контрольованих точок, вимог до пропускної здатності та надійності каналу. На сьогодні існує десятки різноманітних промислових протоколів передачі даних. Найпопулярнішими з них є Industrial Ethernet, Profibus, Controller Area Net Work bus (CANbus), MAP/TOP, Allen Bradley Data Highway, EthernetIP.

Доступ до шини Modbus здійснюється за принципом головне/підпорядковане пристрій, причому протокол передбачає до 247 підпорядкованих пристроїв для одного головного пристрою. Транзакції виконує лише головний пристрій.

Транзакції мають тип запит/відповідь, коли звернення відбувається лише до одного підпорядкованого пристрою або одночасно до всіх підпорядкованих пристроїв (без відповіді). Транзакція включає один кадр запиту і один кадр відповіді або один кадр звернення до всіх пристроїв. Деякі параметри протоколу Modbus є фіксованими, такі як формат кадру, послідовність кадрів, обробка комунікаційних помилок та виключних ситуацій, а також виконувані функції. Інші параметри можна вибирати, такі як середовище, характеристики та режим передачі - RTU або ASCII.

Користувацькі характеристики встановлюються на кожному пристрої і не можуть бути змінені під час роботи системи.

Протокол Modbus формує кадри для передачі повідомлень між головним і підпорядкованими пристроями. Інформація повідомлень включає адресу приймача, дію приймача, дані, необхідні для виконання цієї дії, та засоби контролю помилок. Підпорядкований пристрій зчитує повідомлення і, якщо помилок не виявлено, виконує дію і надсилає відповідь головному пристрою. Інформація в відповідному повідомленні: адреса підпорядкованого пристрою, виконана дія, результат дії та контроль помилок. Якщо початкове повідомлення призначене для всіх пристроїв, то від підпорядкованих пристроїв не потрібне підтвердження.

					<i>ЕлІТ 6.172.00.02.281 ПЗ</i>	<i>Лист</i>
<i>Изм.</i>	<i>Лист</i>	<i>№ документа</i>	<i>Підпис</i>	<i>Дата</i>		24

Перше поле кожного кадра повідомлення є адресовим полем, яке складається з одного байта інформації. У запитових кадрах цей байт ідентифікує контролер, до якого звертається запит. Відповідний кадр відповіді починається з адреси відповідаючого пристрою. Кожен підпорядкований пристрій може мати адресне поле в межах від 1 до 247, хоча кількість підпорядкованих пристроїв на практиці, як правило, менше. Типова конфігурація Modbus складається з одного головного пристрою та двох-трьох підпорядкованих пристроїв.[4]

Адресне поле	Поле функції	DATA Поле даних	Поле контролю за помилками
1 байт	1 байт	Перемінна довжина	2 байти

Таблиця 3.1 – Формат кадра повідомлення Modbus

Друге поле кожного повідомлення є полем функції, яке також складається з одного байта інформації. У запитовому кадрі головного пристрою цей байт ідентифікує функцію, яку цільовий ПЛК повинен виконати.

Якщо цільовий ПЛК може виконати запитувану функцію, то поле функції його відповіді буде ехом оригінального запиту. У протилежному випадку, в полі функції відповіді старшому байту буде присвоєно значення одиниці, що є сигналом від'ємної відповіді.

Третє поле кадру повідомлення є полем даних, і його довжина змінюється в залежності від функції, визначеної в полі функції. У запиті головного пристрою це поле містить інформацію, необхідну ПЛК для виконання запитуваної функції. У відповіді ПЛК це поле містить дані, які запитує головний пристрій.

Контроль помилок. Поширеним і дуже ефективним механізмом перевірки повідомлення на наявність помилок є контроль за допомогою циклічного надлишкового коду (CRC). CRC базується на використанні понять з області математики, відомої як алгебра теорії, і є досить простим у реалізації. Використовуючи 16-бітове контрольне значення, CRC обіцяє виявлення помилок, передбачуване таблицею 3.2. Механізм контролю за допомогою циклічного надлишкового коду очевидно є дуже ефективним у виявленні помилок, особливо "пакетних помилок", коли

проводить ділення повідомлення і контрольної суми на генеруючий поліном CRC-16. У разі правильної передачі результат обчислення (Частка) дорівнює "0", в іншому випадку переданий пакет був спотворений.

Розглянуті схеми виявлення помилок дозволяють отримувачеві лише виявити, що дані були пошкоджені. Вони не надають засобів для виправлення помилкового символу або кадру. Зазвичай цю корекцію виконує отримувач, повідомляючи передавачу, що була виявлена помилка, і запитує іншу копію переданого повідомлення. Цей комбінований цикл виявлення помилок/корекції називається контролем помилок.

Середня ефективна швидкість передачі даних при реалізації протоколу Modbus з передачею інформації розміром 5 байт розраховується за формулою для системи з зворотним зв'язком 3.3:

$$V_{\text{еф}} = V \left(1 - \frac{P_o n_d}{1 - P_o n_d} \right) \left(1 - \frac{r + n_{\text{не}}}{n_d} \right) = 1,8 \quad (3.4)$$

Де $V = 3$ Мбіт/с - швидкість передачі даних по каналу зв'язку;

$P_o = 10^{-6}$ - ймовірність спотворення переданого пакета.

Узагальнений алгоритм обміну даними за протоколом Modbus. Узагальнений алгоритм обміну даними між головним та підпорядкованим пристроєм можна зображення у вигляді, показаному на рис. 3.1.



Рисунок 3.5 - Узагальнений алгоритм роботи веденого пристрою Modbus

Він схожий на відповідний алгоритм ведучого пристрою, з єдиною різницею, що операції відбуваються у зворотному порядку: спочатку приймається повідомлення (стан 2), потім після декодування команди, її виконання та створення відповідного повідомлення (стан 3-5), відбувається передача відповіді ведучому пристрою. Різниця полягає також у тому, що при виникненні помилки прийому ведений пристрій не зобов'язаний відправляти відповідне повідомлення, йому просто потрібно зачекати, поки мастер передасть команду повторно. Стан 7, як і у попередньому випадку, не є обов'язковим, але дуже корисним при налагодженні.

Кадр даних протоколу Ethernet. Усі дані передаються у формі пакета або кадру. Кадр складається з оболонки, що містить керуючу інформацію (таку як байти синхронізації та адреси), і фактичного повідомлення. Кожен вузол визначає адресу призначення та зчитує дані, якщо кадр призначений йому.[2]

Кадр даних Ethernet має структуру, представлену в таблиці 3.3.

Таблиця 3.3 – Формат кадру IEEE 802.3

Преамбула	Початковий роздільник	Адреса призначення	Адрес джерела	Індикатор даних	Дані	Контрольна сума CRC
7 байт	1 байт	2 або 6 байт	2 або 6 байт	2 байти	46 – 1500 байт	4 байти

3. Контролер доступу до середовища використовує отримані байти преамбули для забезпечення синхронізації.
4. Перевіряється адреса призначення, і якщо вона збігається з адресою вузла, здійснюється зчитування даних.
5. Дані зчитані, перевіряється відповідність індикатора довжини довжині повідомлення. Обчислюється FCS і порівнюється зі значенням поля FCS. Якщо обидва порівняння позитивні, повідомлення передається далі.

Побудова блок-схеми прийому даних ведучим пристроєм. Максимальний розмір пакета даних, переданих за протоколом передачі даних Modbus, не повинен перевищувати 255 байтів. При отриманні пакета даних, розмір якого перевищує встановлене значення, прийом даних припиняється і відправляється повідомлення про некоректну передачу повідомлення. Також повідомлення про некоректну передачу повідомлення відправляється у випадку невідповідності контрольної суми і неприпустимого значення функції.

Загальний алгоритм функціонування модуля розподіленого збору даних наведено на рисунку 3.6

					<i>ЕЛІТ 6.172.00.02.281 ПЗ</i>	<i>Лист</i>
<i>Изм.</i>	<i>Лист</i>	<i>№ документа</i>	<i>Підпис</i>	<i>Дата</i>		34

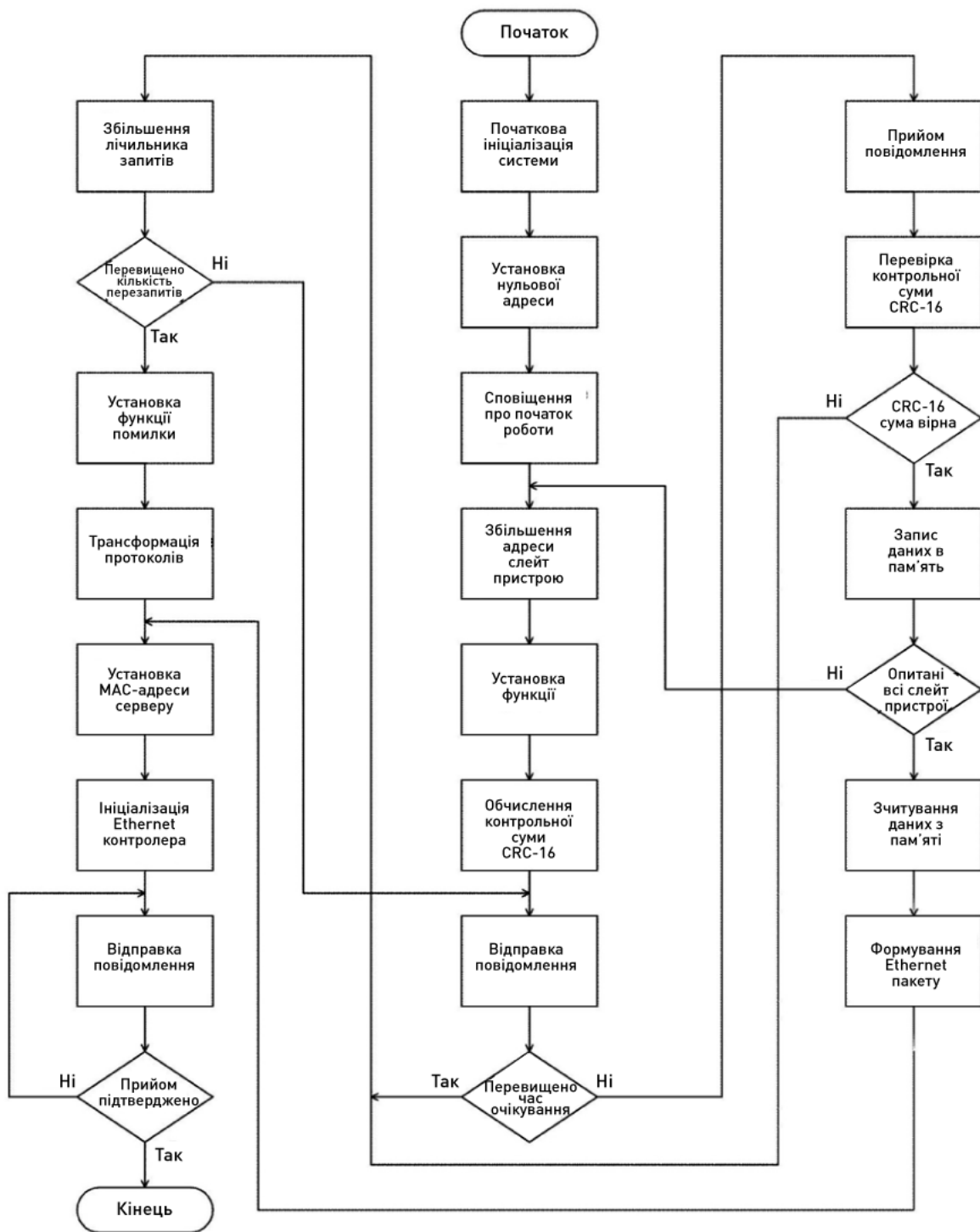


Рисунок 3.6 - Алгоритм функціонування модуля розподіленого збору даних

Структурна схема проєктованого модуля розподіленого збору даних приведена на рисунку 3.7.

Изм.	Лист	№ документа	Підпис	Дата

Проектований пристрій підключається до зовнішнього пристрою за допомогою інтерфейсу RS-232 через комутаційний порт (COM-порт). У даному пристрої використовуються два 9-контактних роз'єми DB-9, які підключені в режимі мінімального нуль-модемного кабелю (рисунок 3.9) і повного нуль-модемного кабелю (рисунок 3.10).

Мінімальний нуль-модемний кабель використовується для з'єднання пристроїв по інтерфейсу RS-232, повний нуль-модемний кабель використовується для підключення пристрою до модему.

Сигнали 9-контактного роз'єму та їх описи наведені в таблиці 3.4.

Зв'язок модуля розподіленого збору даних з віддаленим сервером здійснюється через Ethernet-канал з системою 10Base-T. Система 10Base-T має менші витрати на установку порівняно з іншими системами і використовує скручену пару. Кожний вузол підключається до центрального хаба двома парами (одна пара для прийому, а друга для передачі).

Хаб може бути на відстані до 100 метрів.

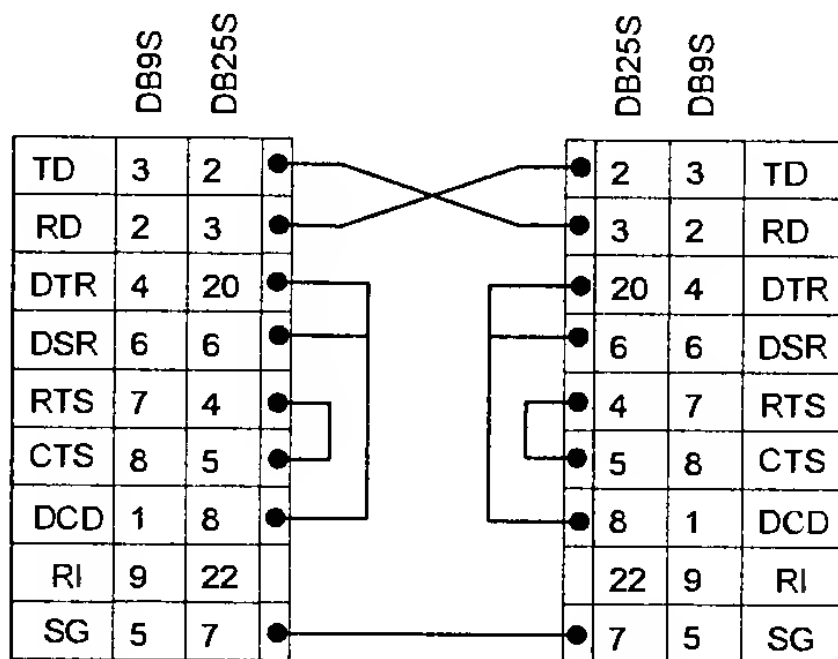


Рисунок 3.9 – Мінімальний нуль-модемний кабель

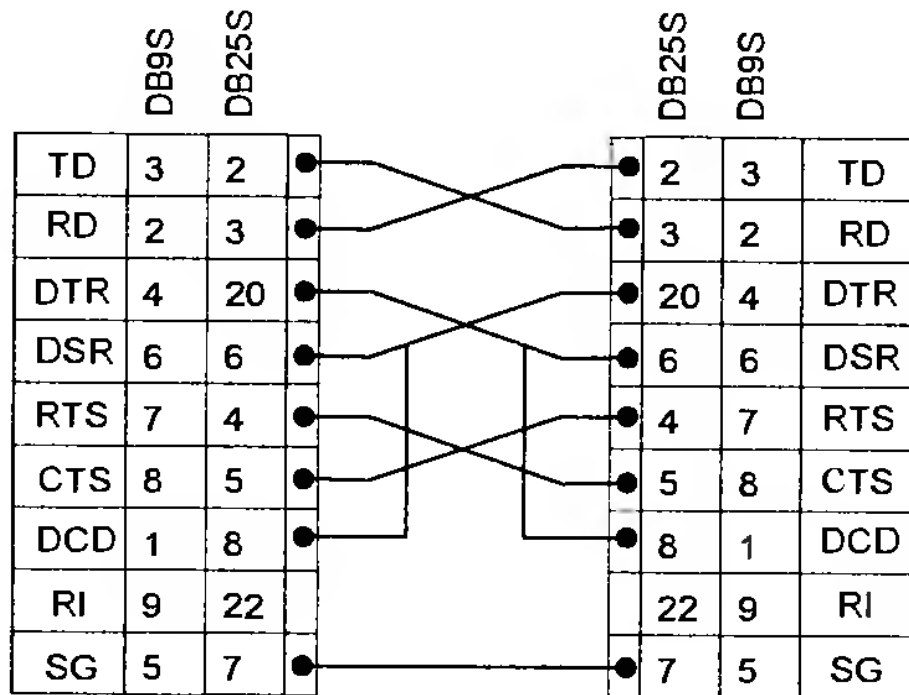


Рисунок 3.10 – Повний нуль-модемний кабель

Таблиця 3.4 – Сигнали 9-штекрного роз'єму та їх опис

Контакт DB-9	Позначення	Опис	Абревіатура	I/O
1	CF	Виявлення несучої	DCD	I
2	BB	Прийняті дані	RxD (RD)	I
3	BA	Передані дані	TxD (TD)	O
4	CD	Готовність	DTR	O
5	AB	Сигнальне заземлення	SG	I/O
6	CC	Готовність DCE	DSR	I/O
7	CACJ	Запит передачі готовність до прийому	RTS	O
8	CB	Готовність передачі	CTS	O
9	CE	Індикатор виклику	RI	I

Підключення до інтерфейсних плат здійснюється за допомогою модульних 8-контактних роз'ємів RJ-45, як показано на рис. 3.11.

Изм.	Лист	№ документа	Підпис	Дата

ЕЛІТ 6.172.00.02.281 ПЗ

Лист

40

Для даного пристрою доцільно використовувати мікроконтролер моделі ATmega1281V-12AI/I. Даний мікроконтролер містить послідовний периферійний інтерфейс SPI, універсальний синхронний/асинхронний приймач-передавач (USART) та має достатню обчислювальну потужність. Параметри даного мікроконтролера наведені в таблиці 3.5.[6]

Таблиця 3.5 – Параметри мікроконтролера ATmega128

Модель	Пам'ять програм (FLASH) [Кбайт]	Пам'ять даних (ОЗУ) [байт]	Пам'ять даних (EEPROM) [байт]	Кількість контактів входів/виходів	Напруга живлення [В]	Тактова частота [МГц]
ATmega128	128	4К	4К	53	4,5...5,5	0...16
ATmega128L					2,7...5,5	0...8

Розташування виводів мікроконтролера ATmega128 у корпусі TQFP-64 і MLF-64 наведено на рис. 3.12.

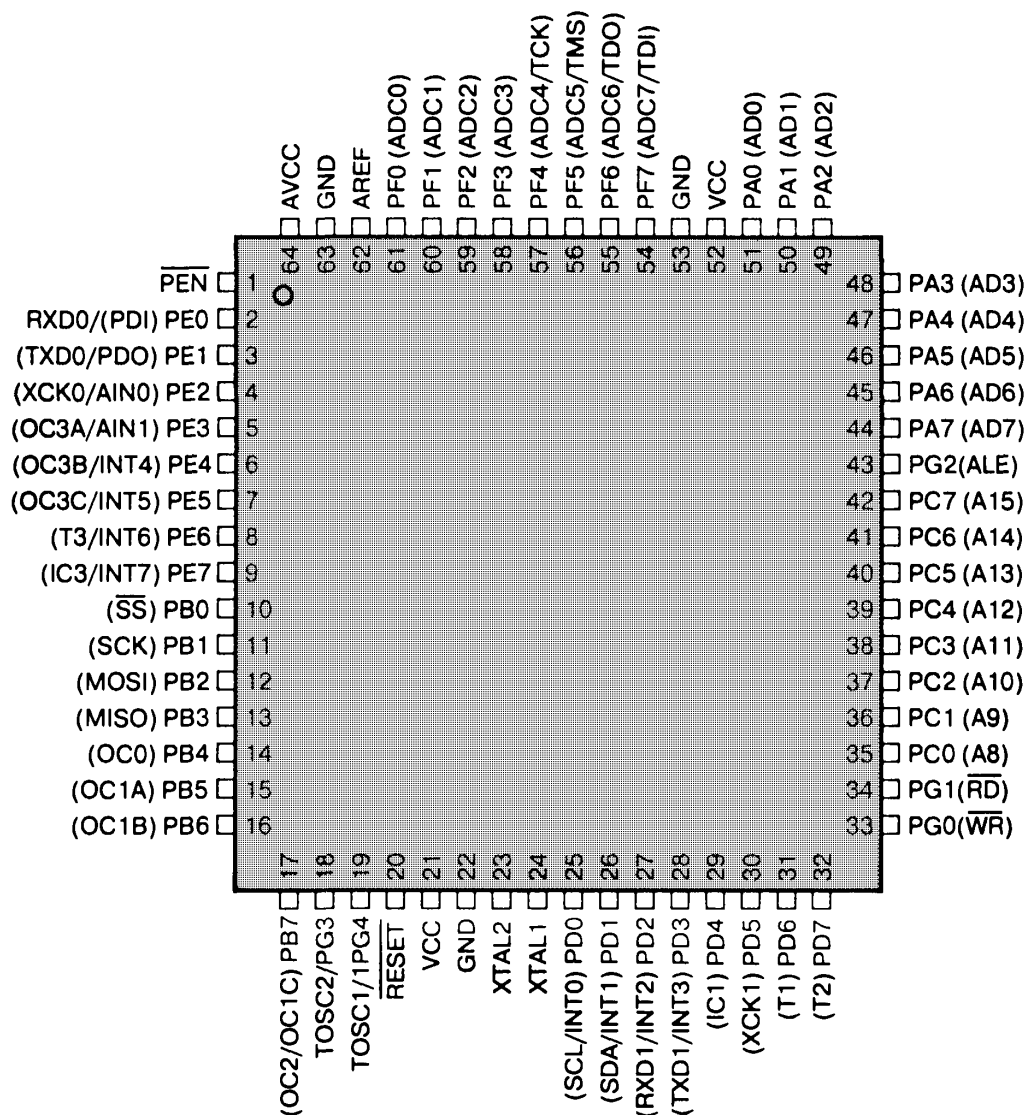


Рисунок 3.12 – Розташування моделі ATmega128

Призначення, тип і нумерація виводів мікроконтролера ATmega128 у корпусі TQFP-64 і MLF-64 наведені в таблицях 3.6.

У даному мікроконтролері реалізований послідовний периферійний інтерфейс SPI (Serial Peripheral Interface), призначений для обміну даними між мікроконтролером та різними периферійними пристроями, такими як цифрові потенціометри, ЦАП/АЦП, FLASH-ПЗУ та інші. Через цей інтерфейс також може здійснюватися обмін даними між кількома мікроконтролерами AVR.

Изм.	Лист	№ документа	Підпис	Дата

Таблиця 3.6 – Опис виводів моделі ATmega128

Позначення	Номер виводу	Тип виводу	Опис
XTAL1	24	I	Вхід тактового генератора
XTAL2	23	O	Вихід тактового генератора
\overline{RESET}	20	I	Вхід скидання
Порт А. 8-розрядний двунапрямлений порт введення/виведення з внутрішніми підтягуючими резисторами.			
PA0	51	I/O	0-й біт порту А
PA1	50	I/O	1-й біт порту А
PA2	49	I/O	2-й біт порту А
PA3	48	I/O	3-й біт порту А
PA4	47	I/O	4-й біт порту А
PA5	46	I/O	5-й біт порту А
PA6	45	I/O	6-й біт порту А
PA7	44	I/O	7-й біт порту А
Порт С. 8-розрядний двунапрямлений порт введення/виведення з внутрішніми підтягуючими резисторами.			
PC0	35	I/O	0-й біт порту С
PC1	36	I/O	1-й біт порту С
PC2	37	I/O	2-й біт порту С
PC3	38	I/O	3-й біт порту С
PC4	39	I/O	4-й біт порту С
PC5	40	I/O	5-й біт порту С
PC6	41	I/O	6-й біт порту С
PC7	42	I/O	7-й біт порту С
Виводи послідовного периферійного інтерфейсу SPI.			
\overline{SS}	10	I/O	Вибір Slave-пристрою на шині
SCK	11	I/O	Вихід (Master) або вхід (Slave) тактового сигналу модуля SPI

Изм.	Лист	№ документа	Підпис	Дата

ЕЛІТ 6.172.00.02.281 ПЗ

Лист

44

Продовження таблиці 3.6

Позначення	Номер виводу	Тип виводу	Опис
MOSI	12	I/O	Вихід (Master) або вхід (Slave) даних модуля SPI
MISO	13	I/O	Вхід (Master) або вихід (Slave) даних модуля SPI
Універсальний синхронний/асинхронний приймач-передавач (USART).			
RXD1	27	I/O	Вхід USART1
TXD1	28	I/O	Вихід USART1
XCK1	30	I/O	Вхід/вихід зовнішнього тактового сигналу USART1
RXD0	2	I/O	Вхід USART0
TXD0	3	I/O	Вихід USART0
XCK0	4	I/O	Вхід/вихід зовнішнього тактового сигналу USART0
INT7	9	I/O	Вхід зовнішнього переривання
Порт F. 8-бітний двонапрямлений порт введення/виведення з внутрішніми підтягуючими резисторами.			
PFO	61	I/O	0-й біт порту F
PF1	60	I/O	1-й біт порту F
PF2	59	I/O	2-й біт порту F
PF3	58	I/O	3-й біт порту F
PF4	59	I/O	4-й біт порту F
PF5	60	I/O	5-й біт порту F
PF6	61	I/O	6-й біт порту F
PF7	62	I/O	7-й біт порту F

Структурна схема модуля SPI наведена на рисунку 3.11.

Часові діаграми передачі даних за допомогою послідовного периферійного інтерфейсу наведені на рисунку 3.14.

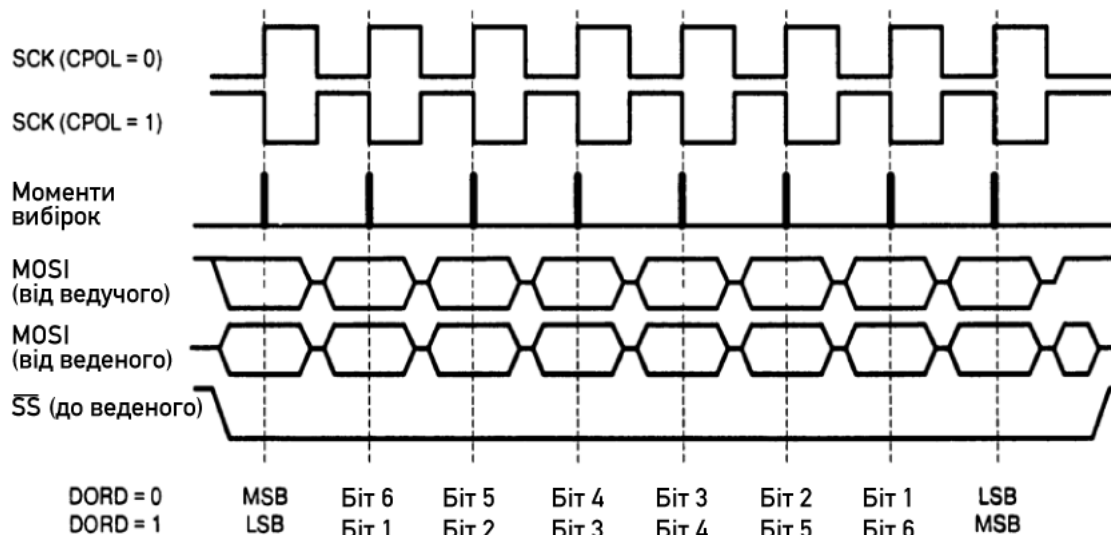


Рисунок 3.14 - Часові діаграми передачі даних за допомогою SPI

Таблиця 3.7 - Налаштування частоти тактового сигналу SCK

SPI2X	SPR1	SPR0	Частота сигналу SCK
0	0	0	$f_{CLK}/4$
0	0	1	$f_{CLK}/16$
0	1	0	$f_{CLK}/64$
0	1	1	$f_{CLK}/128$
1	0	0	$f_{CLK}/2$
1	0	1	$f_{CLK}/8$
1	1	0	$f_{CLK}/32$
1	1	1	$f_{CLK}/64$

де f_{CLK} – тактова частота мікроконтролера.

У всіх мікроконтролерах сімейства Mega вбудований модуль універсального синхронного/асинхронного приймача-передавача (USART). Модель ATmega1281V-12AI/I включає два модулі універсального синхронного/

асинхронного приймача-передавача, які забезпечують повнодуплексний обмін даними по послідовному каналу.

Структурна схема одного модуля USART наведена на рисунку 3.15.

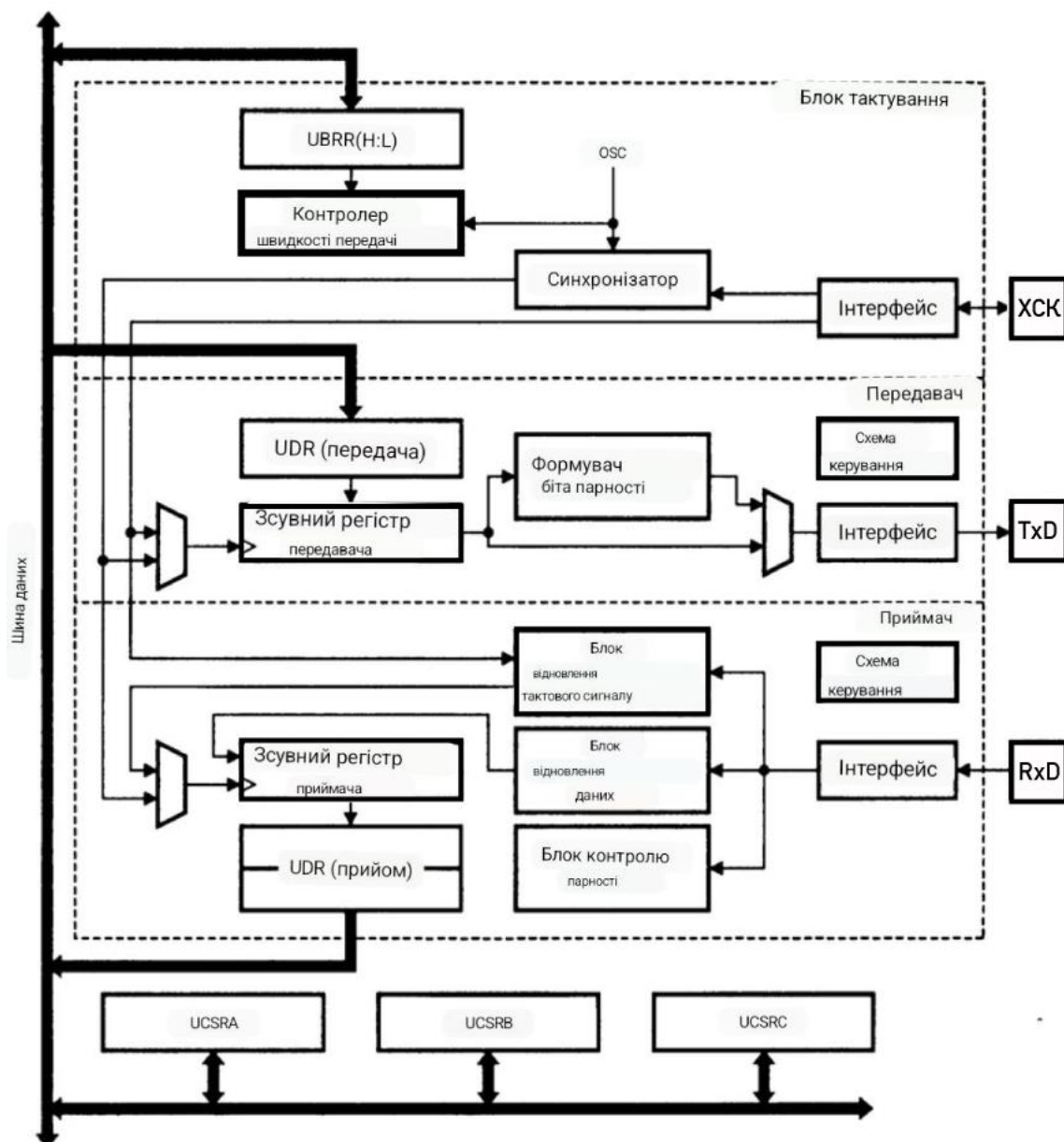


Рисунок 3.15 - Структурна схема модуля USART

Швидкість обміну даними визначається за формулою 3.5:

$$BAUD = \frac{f_{ck}}{16 \cdot (UBRR + 1)}, \quad (3.5)$$

де BAUD – швидкість передачі біт/с;

f_{ck} – тактова частота мікроконтролера;

Изм.	Лист	№ документа	Підпис	Дата

UBBR – вміст регістру керування швидкістю передачі даних. Послідовний інтерфейс передачі даних RS-485 реалізується через драйвер інтерфейсу RS-485 моделі MAX3443E від компанії MAXIM. Схематичне зображення драйвера інтерфейсу RS-485 наведено на рисунку 3.16.

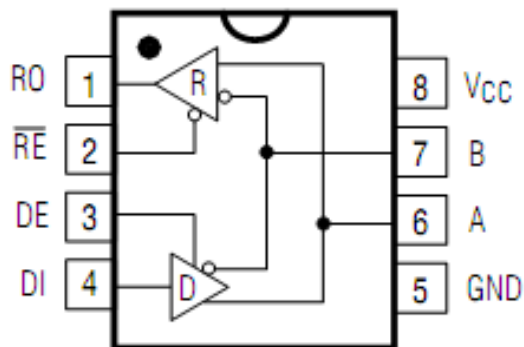


Рисунок 3.16 - Схематичне зображення MAX3443E

Драйвер інтерфейсу RS-485 моделі MAX3443E має вбудовану захист від перепадів напруги до 60 В та функцію гарячого підключення приймача і передавача до каналу зв'язку. Він гарантовано забезпечує передачу даних зі швидкістю до 10 Мбіт/с. Драйвери MAX3443E можуть бути підключені до загальної шини у кількості до 128 штук. Організація локальної мережі з використанням драйвера MAX3443E показана на рисунку 3.17.

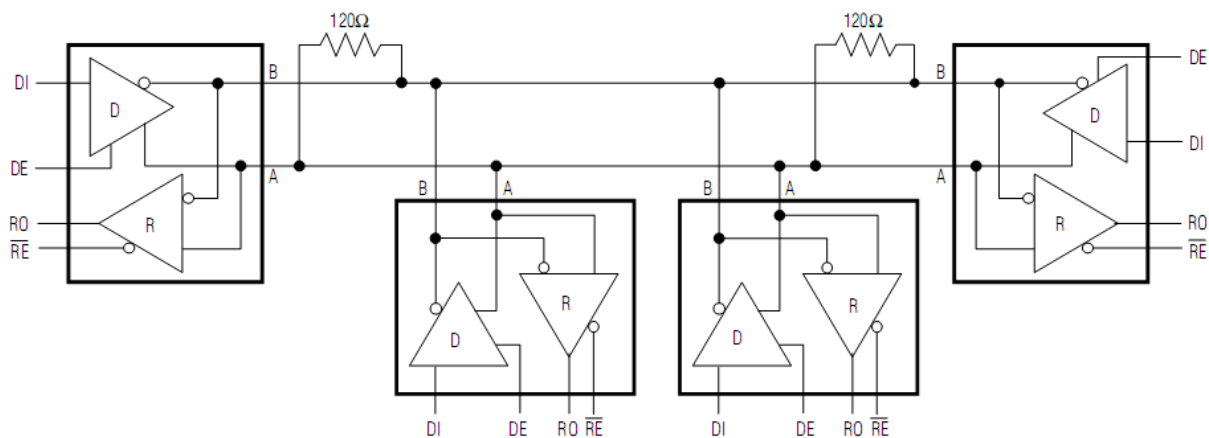


Рисунок 3.17 - Організація локальної мережі з використанням драйвера MAX3443E

Изм.	Лист	№ документа	Підпис	Дата

Паралельно до драйверів MAX3443E підключаються два термінальних резистори з опором 120 Ом. Призначення, тип і нумерація виводів драйвера інтерфейсу RS-485 моделі MAX3443E наведені в таблиці 3.8.

Таблиця 3.8 - Призначення, тип і нумерація виводів драйвера інтерфейсу RS-485 MAX3443E

Позначення	Номер виводу	Опис
RO	1	Вихід приймача
\overline{RE}	2	Включення приймача
DE	3	Включення передавача
DI	4	Вхід передавача
GND	5	Заземлення
A	6	Неінвертуючий вихід приймача-передавача
B	7	Інвертуючий вихід приймача-передавача
Vcc	8	Живлення

Схема зв'язку драйвера інтерфейсу RS485с підключається за типовою схемою, яка наведена в описі розробника.

Для реалізації послідовного інтерфейсу передачі даних RS-232с використовуються драйвери інтерфейсу RS-232с марки MAX1336E від компанії MAXIM. Схематичне зображення драйвера інтерфейсу RS-485 наведено на рисунку 3.18.

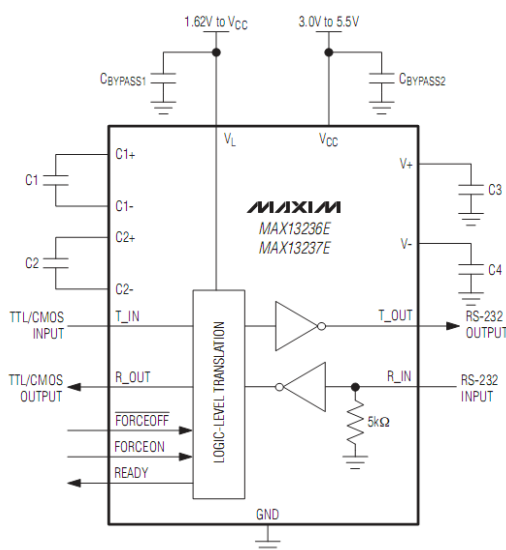


Рисунок 3.18 – Схематичне зображення MAX1326

Изм.	Лист	№ документа	Підпис	Дата

ЕЛІТ 6.172.00.02.281 ПЗ

Лист

50

Сигнал скиду також генерується при відсутності живлення або зниженні його порогового значення.

Типові схеми підключення Ethernet-контролерів CP2200, рекомендовані компанією Silicon Laboratories, наведені на рис. 3.20.

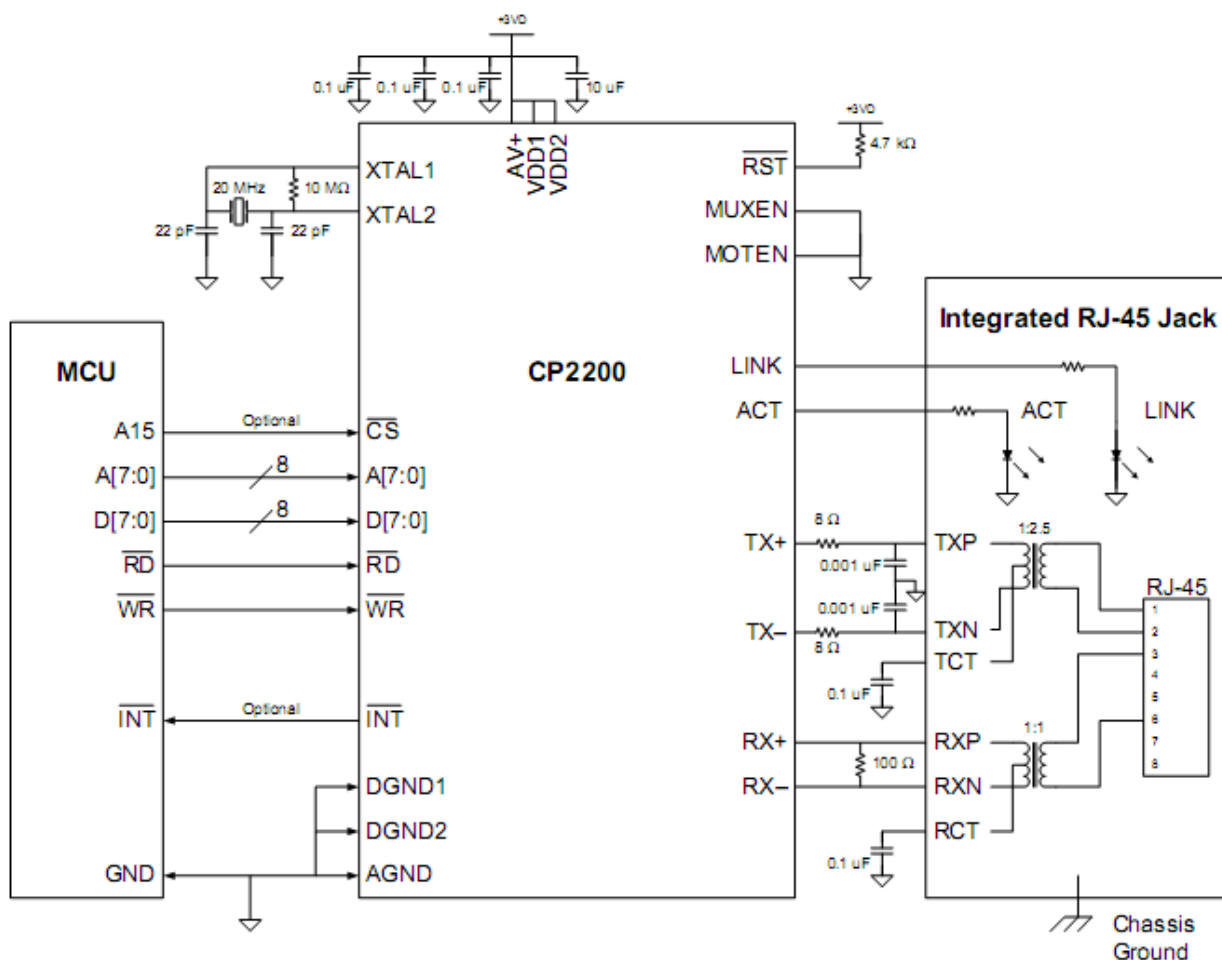


Рисунок 3.20 - Типова схема включення CP2200

Значення виводів мікросхеми CP2200 приведені в таб. 3.10.

Таблиця 3.10 – Значення виводів мікросхеми CP2200

Позначення	Номер виводу	Тип виводу	Опис
AV+	5	Живлення	Аналогове живлення +5В
AGND	4		Аналогова земля
VDD1	13	Живлення	Цифрове живлення +5В

Изм.	Лист	№ документа	Підпис	Дата

DGND1	14		Цифрова земля
VDD2	30	Живлення	Цифрове живлення +5В
DGND2	31		Цифрова земля
RST	15	D I/O	Перезавантаження пристрою.
LINK	3	D Out	Сигнал з'єднання.
ACT	2	D Out	Сигнал активності
XTAL1	46	A In	Вхід тактового генератора
XTAL2	45	A Out	Вихід тактового генератора
TX+	9	A Out	10Base-T передатчик
TX-	10	A Out	10Base-T передатчик
RX+	7	A In	10Base-T приймач
RX-	6	A In	10Base-T приймач
MOTEN	43	D In	Включення шини моторола.
MUXEN	44	D In	Включення шини інтел
INT	42	D In	Сигнал переривання.
CS	41	D In	Вибір пристрою.
RD	39	D In	Читання.
WR	40	D In	Запис
ALE	32	D In	Вибір шини
A0-A7	27,28,29,32, 33,34,37,38	D In	Шина адреси
D0-D7	16-23	D I/O	Шина даних

3.4 Розробка та розрахунок принципів електричних схем вузлів та блоків пристрою.

Розрахунок продуктивності Ethernet. Припустимо, що в черзі на передачу пакета знаходяться N вузлів. Це число представляє повне навантаження системи і припускається, що воно більше 1.

У Ethernet-системі існує конфліктний інтервал, або час, протягом якого вузли намагаються провести передачу, перш ніж їм буде надано гарантію на управління шиною. Протягом цього часу, що дорівнює тривалості 512 бітів, можуть виникати конфлікти через затримку поширення сигналу по мережі.

Якщо припустити, що вузол має ймовірність передачі в будь-який проміжок часу, рівну $1/N$, то ймовірність затримки складає $[1 - 1/N]$.

Ймовірність (P) того, що рівно один вузол спробує передавати у цьому часовому інтервалі і успішно отримає контроль над шиною, дорівнює:

$$P = \left[1 - \left\{ \frac{1}{N} \right\} \right]^{N-1}, \quad (1.8)$$

Де P - ймовірність того, що шина буде вільною;

N - кількість вузлів.

Тобто ймовірність того, що очікування не буде, перед тим як буде отримано контроль над шиною, дорівнює P .

Ймовірність очікування лише одного часового інтервалу становить $P(1-P)$, а ймовірність очікування N часових інтервалів - $P(1-P)^N$. Це геометрична послідовність з середнім значенням $(1 - P)/P$.

Отже, середня кількість часових інтервалів, які вузол повинен очікувати, перед тим як він отримає доступ до шини, складає:

$$S = \frac{(1-P)}{P}, \quad (3.6)$$

де S - середній час очікування інтервалів.

Для $N=10$ ймовірність вільної шини при використанні пристрою складає:

$$P = \left[1 - \left\{ \frac{1}{N} \right\} \right]^{N-1} = \left[1 - \left\{ \frac{1}{10} \right\} \right]^{10-1} = 0,387, \quad (3.7)$$

Тоді середня кількість очікуваних інтервалів:

$$S = \frac{(1-P)}{P} = \frac{(1-0,387)}{0,387} = 1,58, \quad (3.8)$$

Ефективність E визначається відношенням відсотку часу, коли мережа передає корисні дані. Кожен пакет має максимум 192 біта (витрати), які складаються з:

- 7 байтів преамбули,
- 1 байту SFD,
- 6 байтів адреси призначення,
- 6 байтів адреси джерела,
- 2 байтів індикатора довжини,
- 4 байтів CRC.

Максимальний розмір пакета становить 1526 байтів або 12208 бітів, а мінімальний розмір пакета - 72 байти або 576 бітів. Між кожним кадром є проміжок, тривалість якого дорівнює 96 бітам, що при швидкості 20 Мбіт/с складає 4,8 мікросекунди.

Ефективність E для мінімального і максимального пакета розраховується за формулою 3.9:

$$\dot{A} = \frac{Dp}{(Dp + O + T)}, \quad (3.9)$$

де Dp - корисні дані;

O - очікування;

T - час затримки.

Для кадра максимального розміру:

$$\dot{A}_{MAX} = \frac{6104}{(6104 + 256 + 48)} = 95,2\% , \quad (3.10)$$

Для мінімального розміру:

$$\dot{A}_{MIN} = \frac{288}{(288 + 256 + 48)} = 48,6\% , \quad (3.11)$$

Зменшення ефективності викликається зростаючою частиною часу фіксованих витрат та інтервалу між кадрами.

3.5 Розробка програмного забезпечення проектованого пристрою.

Розробка алгоритму обчислення контрольної суми. Для обчислення контрольної суми методом циклічного надлишкового коду передавач виконує алгоритм:

- бере повідомлення, яке складається з послідовності бітів;
- додає 16 нулів з правого боку повідомлення;
- ділить за модулем 2 на наступне число, дільник (або породжуючий поліном), наприклад, 11000000000000101 (CRC-16), і отримує результат у вигляді залишку CRC;
- додає залишок у формі 16-розрядного числа до послідовності початкового повідомлення (тобто замінює 16 нулів на 16-розрядний залишок) і передає це на приймач.

Після отримання пакету даних приймач виконує такі операції:

- бере повне повідомлення плюс біти контрольної суми CRC і ділить на те саме число, яке використовував передавач;
- якщо помилок немає, то результатом залишок буде складатися з нулів (згідно з рівнянням 1.2 розділу 1);
- якщо є помилки, то залишок не буде дорівнювати нулю.

Загальний алгоритм обчислення контрольної суми CRC16 для передавача показано на рисунку 3.21.[7]

									Лист
Изм.	Лист	№ документа	Підпис	Дата	ЕЛІТ 6.172.00.02.281 ПЗ				58

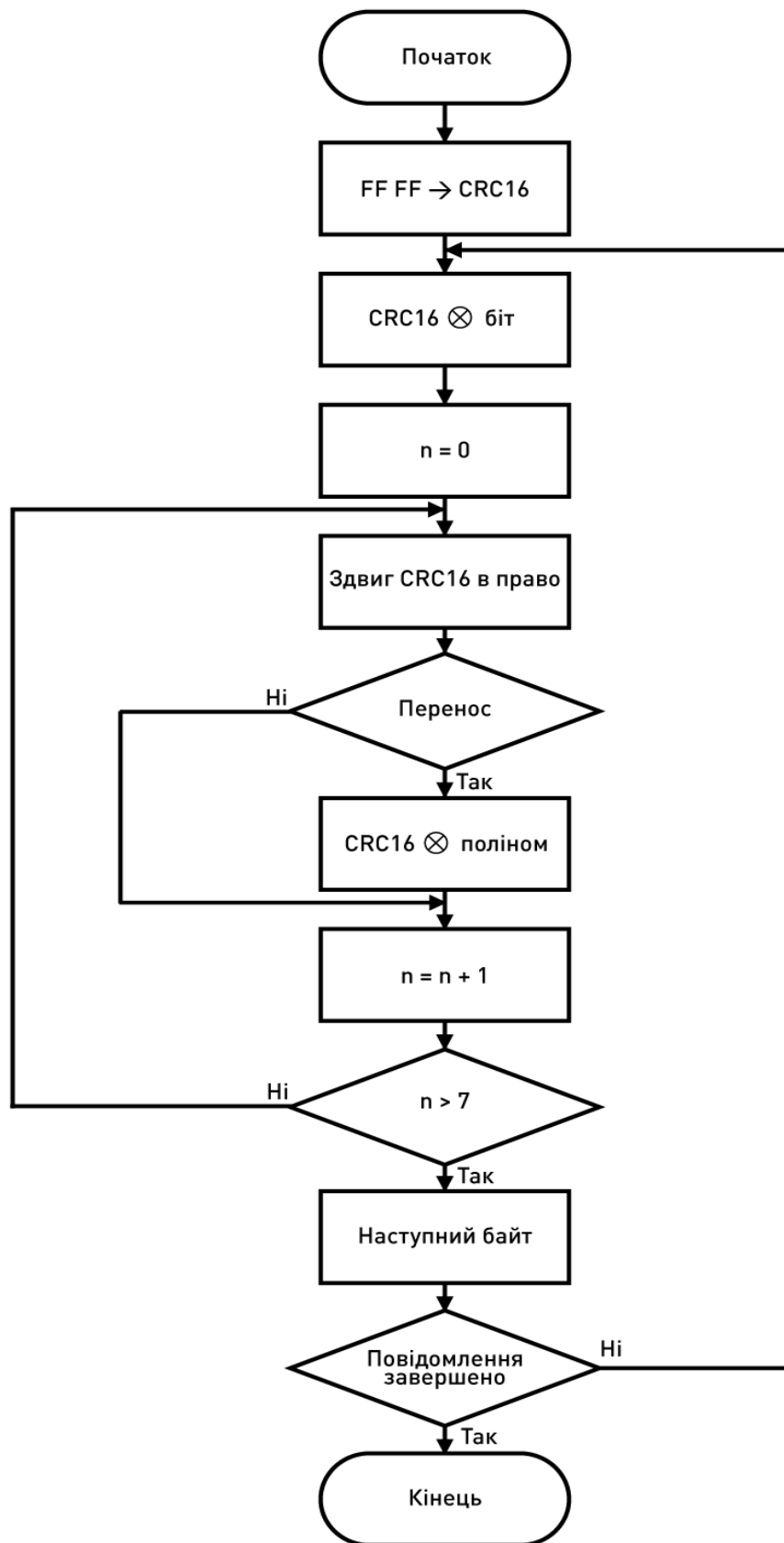


Рисунок 3.21 - Алгоритм обчислення контрольної суми

Изм.	Лист	№ документа	Підпис	Дата

ВИСНОВКИ

У рамках даної кваліфікаційної роботи було досліджено та проаналізовано пристрій розподілу інформації на основі послідовних інтерфейсів. Головною метою роботи було розкрити принципи роботи та можливості таких пристроїв, а також дослідити їх застосування у різних галузях.

У процесі дослідження було з'ясовано, що послідовні інтерфейси є одними з найпоширеніших та найстаріших способів передачі даних між пристроями. Найбільш відомі послідовні інтерфейси включають UART (Універсальний асинхронний приймач-передавач), SPI (Послідовний інтерфейс зі зсувним регістром) та I2C (Шина з двома проводами).

Дослідження показало, що пристрої розподілу інформації на основі послідовних інтерфейсів використовуються в різних сферах, включаючи мікроконтролерні системи, комп'ютерні мережі, інформаційні технології та інші. Вони дозволяють ефективно передавати дані між пристроями, забезпечуючи надійність і швидкість передачі.

Крім того, в процесі дослідження було виявлено деякі виклики та обмеження, пов'язані з використанням послідовних інтерфейсів, такі як обмежена швидкість передачі даних та обмежена довжина кабелю. Однак, зрозуміння цих обмежень дозволяє розробникам ефективно використовувати ці пристрої та враховувати їх у своїх проектах.

Отже, на основі проведеного дослідження можна зробити висновок, що пристрої розподілу інформації на основі послідовних інтерфейсів є важливими компонентами сучасних технологій. Вони забезпечують надійну та швидку передачу даних і використовуються у багатьох галузях. Подальше розвиток та вдосконалення цих пристроїв сприятимуть розширенню їх застосування і покращенню ефективності взаємодії між пристроями.

					ЕлІТ 6.172.00.02.281 ПЗ	Лист
Изм.	Лист	№ документа	Підпис	Дата		60

